DOI: 10.16796/j.cnki.1000-3770.2023.03.009

有机负荷对UASB处理高浓度食品废水厌氧制氢及反应器运行特征的影响

孙 晨1,2, 迟 冉1,2, 李伟英1*

(1.同济大学长江水环境教育部重点实验室,200092; 2.上海水源地建设发展有限公司,200433;上海)

摘 要: 针对有机负荷率(OLR)对高浓度食品废水厌氧产氢性能不明确的现状,在25℃下,开展了UASB处理不同OLR食品有机废水厌氧产期及反应器运行特征的探究。结果表明,OLR提高利于颗粒污泥浓度增加,OLR由20gCOD/(L·d)提高至50gCOD/(L·d),污泥质量浓度由8.4~8.6g/L提高至10.8~11.2g/L。此外,OLR在40.0gCOD/(L·d)时,COD去除率最高为92.5%~94.2%,氢气产量最大为38.9~40.3 mL/gVSS,远高于其他工况。OLR还对污泥特征具有显著影响。进水OLR由20gCOD/(L·d)提高至40gCOD/(L·d)时,胞外聚合物(EPS)的含量由101 mg/g提高至121 mg/g,EPS含量增加率约为50%。过量OLR导致系统内酸化严重降低pH影响了微生物活性。研究结果为UASB处理高浓度有机废水提供了一定的理论依据和数据支撑。

关键词: 高浓度废水;有机负荷;厌氧产氢;UASB

开放科学(资源服务)标识码(OSID):

中图分类号: X792 文献标识码: A

文章编号: 1000-3770(2023)03-0048-005

食品工业废水是水污染的重要排放源,其中豆类产品加工废水是食品工业废水的重要组成。豆类加工废水具有量大、有机物和悬浮物浓度高等特点^[1]。豆类加工废水是一类可生化性较好的有机废水^[2]。食品加工废水若处置不当会造成水体黑臭、影响生态安全,因此,食品加工废水的处理与处置得到广泛关注^[3]。

食品加工废水的生物处理技术主要有水解-好氧、吸附生物降解、曝气生物滤池及升流式厌氧污泥床(UASB)法^[4]。UASB可有效将有机物生物转化为能源物质甲烷,从而实现有机废水的资源化。此外,该法不需要填料和搅拌设备,具有良好的经济型。UASB处理高浓度有机废水的效能和稳定性与有机负荷率(OLR)密切相关。纪钧麟等^[5]用UASB处理玉米酒精废水时发现OLR超过10.56kg/(m³·d)。REUNGSANG等^[6]发现当以甘油为底物时50g/(L·d)OLR为最佳,且与氢气产生相关微生物主要是

E. aerogenes, Clostridium, Bacillus 和 Dialister sp。 CASTELLÓ等[7]发现UASB反应器中使用未灭菌的 奶酪乳清进行暗发酵生产氢气的可行性,在测试的 最高负荷率(20 gCOD/(L·d))下,产氢量为122 mL H₂/(L·d)。之前的研究多关注UASB处理不同有机 固废厌氧产或氢气的影响,而关于OLR影响UASB处理高浓度有机废水过程制取氢气鲜被报道,且 OLR 对UASB处理高浓度有机废水过程中污泥特征的变化规律也不明确。为了填补OLR 对UASB处理高浓度有机废水产氢的空白,本研究在中温条件下调查了OLR 对UASB处理高浓度豆制品加工废水氢气产生规律,分析了不同OLR变化情况下污泥的变化特征,揭示了OLR 对高浓度有机废水厌氧产氢的作用机制,本研究为食品加工废水的高效处理与处置提供一定的技术支撑。

收稿日期:2022-04-19

基金项目:国家自然科学基金面上项目(51979194);中国工程院院地合作项目(2019-CQ-ZD-1)

作者简介:孙 晨(1990 -),女,硕士,研究方向为生态环境工程技术;电子邮件:chen.sun@poten.cn

通讯作者:李伟英,教授,博士,博士生导师;电子邮件:123lwyktz@tongji.edu.cn

1 材料与方法

1.1 实验材料

研究所用接种污泥为实验室驯化的厌氧污泥,该污泥呈暗褐色,具有良好的产氢性性能。接种污泥的主要特征如下:总悬浮固体(TSS)为(12.3±0.2)g/L,挥发性悬浮固体(VSS)为(8.4±0.1)g/L,pH为7.1±0.2。

研究所用废水为豆类加工废水,废水的主要特征为:pH为5.6±0.1,COD为(124.2±0.2)g/L,NH₄+N质量浓度为105.3 mg/L,导电率为4.8 mS/cm。

实验所用反应器为UASB,有效体积为10.0 L, 配有气体收集袋。

1.2 实验设置

本研究在上流式污泥反应床(UASB)内进行, UASB 的有效工作容积为 10.0 L, 高径比为 6/1, UASB 在不同高度设有取样口,底部进料,顶部出料。整个实验阶段在室温为(25.0±1.0)℃的环境内进行。整个运行过程分为四个工况(I、II、III和IV),各工况运行30 d。各工况进水有机负荷通过加水稀释控制在20、30、40、50 gCOD/(L·d),整个过程上流速度保持不变,实验过程中通过测定氢气产生、有机物消耗及微生物群落特征等探究有机负荷对厌氧产氢的影响。

1.3 分析方法

氢气测定采用SC-II型气相色谱。气相色谱配 有热导检测器(TCD),不锈钢色谱填充柱长2.0 m, 具体测定方法见文献。COD、SS、VSS和pH的测定 方法为国际标准方法。液相末端发酵产物(VFAs) 组分及含量采用HT-SP502型气相色谱测定。VFA 测定采用气相色谱法,色谱仪配置 KB-FFAP 毛细管 色谱柱,柱箱温度为130℃,检测器的稳定为 250 ℃,进样器的温度为200 ℃。取不同工况内污 泥拍照后,采用Nano Measurer 1.2软件分析颗粒污 泥粒径分布。EPS的提取采用超声、加热法,取污泥 样品 20 mL放置于离心管中,在4 ℃、800 g下离心 10 min,去上清液,沉淀物溶于磷酸盐缓冲液,混匀 后置于超声破碎仪中40 W工作4 min,再于80 ℃恒 温水浴中加热 60 min, 最后 10 000 g下离心 30 min, 上清液过0.45 µm的乙酸纤维膜后用于 EPS 成分分 析。EPS内多糖(PS)采用蒽酮比色法测定,而蛋白 质(PN)采用福林酚法测定。

2 结果与讨论

2.1 OLR 对 UASB 运行过程中污泥浓度的影响

图1为不同工况下污泥浓度的变化。随OLR提 升,UASB内污泥SS质量浓度逐渐提高。在工况I 内SS质量浓度为8.4~8.6 g/L,在工况IV内,OLR 提高至50 gCOD/(L·d), SS 提高至10.8~11.2 g/L, 较工况I内污泥SS提高了约2.4~2.6 g/L,说明在处 理高浓度有机废水时,OLR提高利于污泥浓度。郎 龙麒等[8]研究证实OLR提高对颗粒污泥浓度具有 促进作用,这与本研究结果相一致。进水OLR提高 为微生物增殖提供了充足的物质基础,并且污泥的 颗粒化创造了条件。OLR还影响污泥内 VSS 的浓 度。工况I内, VSS浓度较低, 仅为6.4~6.5 g/L, 该 时期微生物处于于适应阶段,水解酸化细菌代谢活 性差。另一方面,进水OLR低,有机质含量不能满 足微生物的增殖。在工况 III 和工况 IV 内, OLR 提 升导致SS的浓度分别提高至9.4~9.5 g/L和10.5~ 10.8 g/L, VSS的浓度同样分别提高至6.8~7.2 g/L 和 6.9~7.4 g/L, 对应 VSS/TSS 大致为 0.71~0.72 和 0.66~0.68;阶段 III 内, VSS/SS 降低的原因可能在 于微生物代谢旺盛并消耗了一部分胞外可可利用的 有机质。在阶段IV内, VSS进一步提高至7.6~7.8 g/L, VSS/SS 提高至 0.68 ~ 0.69, 高于工况 III 却低于 工况Ⅱ。上述实验结果表明,提高进水OLR可促进 UASB内污泥浓度,并影响污泥内有机质占比。在 工况 III 内, 进水 OLR 为 40 gCOD/(L·d), 微生物代 谢旺盛,污泥浓度较高。

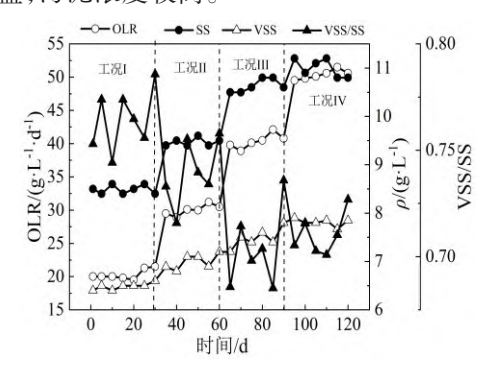


图 1 不同工况内OLR、SS、VSS及VSS/SS的变化分析 Fig.1 The Changed Analysis of OLR, SS, VSS and VSS/SS under different working conditions

2.2 OLR对有机物去除的影响

食品有机废水厌氧处理的关键考察指标为有机物去除效率,本工作同样探究了不同OLR影响下UASB对食品有机废水COD去除的影响。如图2所示,进水COD随OLR提高而增加,然而COD的去除

率随 OLR 先升高后下降。在工况 I 内,前 20 d 的 COD 去除率大致维持在84.5%~86.5%, COD 的去 除率不理想,这主要与UASB处于启动阶段相关,该 时期微生物的代谢活性差,对有机物的利用率低。 在工况 I,30 d时 COD 的去除率升高至 89.6%,说明 经驯化后的微生物能提高去COD的去除。在工况 II, 进水OLR提高至30gCOD/(L·d), COD的去除率 提升至91.2%~92.4%,高于工况 I。尽管工况 II 内 进水COD提高,但该时期微生物代谢增强,有机质 消耗去除率提高。当进水OLR进一步提高至40 gCOD/(L·d)时,COD的去除率提高至本研究最大 值92.5%~94.2%,说明在工况III内,微生物活性最 强进而对有机物消耗利用率最高,这也与图1内工 况III时期微生物代谢消耗胞外物质相一致。在工 况 IV, OLR 进一步提高至 50 gCOD/(L·d), COD 去 除率却下降至87.8~89.2%,低于工况III和工况II, 但与工况 I 的稳定时期大致相似。UASB内 COD的 消耗主要与厌氧期的水解酸化菌活性密切相关。 SÁNCHEZ等在5.0 L的UASBchli8猪场废水时发现 进水 OLR 在 1.0~4.0 gTCOD/(L·d)范围内, UASB 具有良好的产气性和稳定性,而当进水OLR高于 4.0 gTCOD/(L·d)时,TCOD的去除效率迅速下降至 50%,且pH迅速降低^[9]。进水OLR过高会破坏系统 中产酸菌和产甲烷菌的活性,导致VFA积累过度, pH降低,COD的去除受抑制。

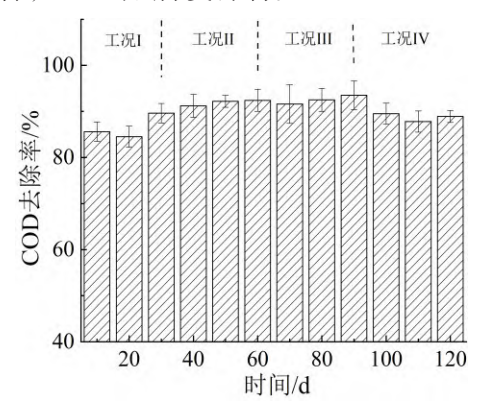


图 2 OLR 对 COD 去除效率的影响 Fig.2 Effect of OLR on the COD removal efficiency

2.3 OLR 对氢气产量的影响

氢气作为清洁能源,高浓度食品有机废水的厌氧制氢是废水资源化利用的重要途径。UASB内厌氧产氢的效能与OLR密切相关。如图3所示,随OLR提高,氢气产量呈现先升高后降低的变化规律。在工况I内,氢气产量约为12.3~15.2 mL/gVSS,而当OLR提高至40 gCOD/(L·d)时,氢气产

量提高至38.9~40.3 mL/gVSS,较工况I提高约16.6~25.1 mL/g VSS。但当进水OLR进一步提高至50 gCOD/(L·d),氢气产量却下降至23.1~24.5 mL/gVSS,仍高于工况I。过高OLR对氢气的产生具有一定抑制作用,但是由于OLR的提升增加了可利用的有机物,为水解酸化产氢细菌提供了充足的物质基础,从而导致在工况IV内氢气产量较大,但过高的OLR导致pH下降明显,从而在一定程度上导致工况IV内产氢量低于工况III。在工况III内,OLR较大且有机物的水解酸化产物对产氢细菌的抑制不明显,导致该时期氢气产量最大。

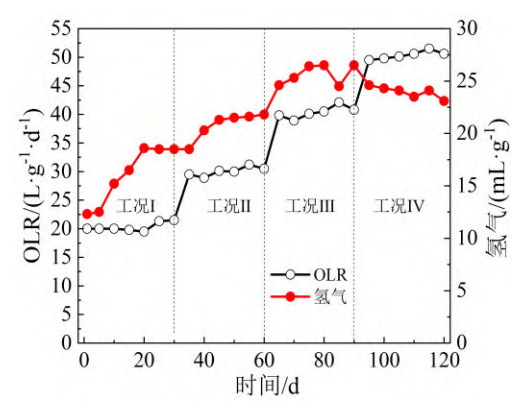


图 3 OLR 对 UASB 处理食品过程中氢气产量的影响 Fig. 3 Effect of OLR on hydrogen production during the UASB treatment of food

2.4 各工况下颗粒污泥 EPS 含量及组分的变化

进水OLR能影响UASB厌氧污泥的粒径及污 泥特征。如图4所示,不同工况内污泥粒径呈现较 大差异。在工况I内,污泥粒径在0~0.5 mm的污泥 占比高达41.2%,而1.0~2.0 mm粒径范围内的污泥 占比仅为24%,说明在低OLR影响下污泥主要絮状 污泥,这与THANH等^[10]研究结论相一致。当OLR 提高至30 gCOD/(L·d)时,在0~0.5 mm 粒径范围 内的污泥占比下降至40.2%,相较于工况I,该范围 内的污泥占比所有降低,而在1.0~2.0 mm范围内 的污泥占比升高至29.9%,说明适当提高进水OLR 利于污泥粒径的提高。而当进水 OLR 进一步提高 至 40 gCOD/(L·d)时,在 0~0.5 mm 粒径范围内的 污泥占比继续下降至35.6%,而1.0~2.0 mm范围内 的污泥占比提高至38.9%,也说明了OLR提高利于 颗粒污泥的形成。有机浓度提高促进了污泥内微生 物的代谢,从而加强了聚集效应,提高了污泥的粒 径[11]。在OLR提高至本工作最大值50gCOD/(L·d) 时,絮状污泥基本不存在,而1.5 mm以上粒径的污 泥占比提高至37.5%。颗粒污泥具有结构紧密、生 物量高等优势,其对有机物具有良好的去除能力。

本工作中进水 OLR 的提高促进了厌氧污泥的颗粒化,从而提高了氢气的产量。

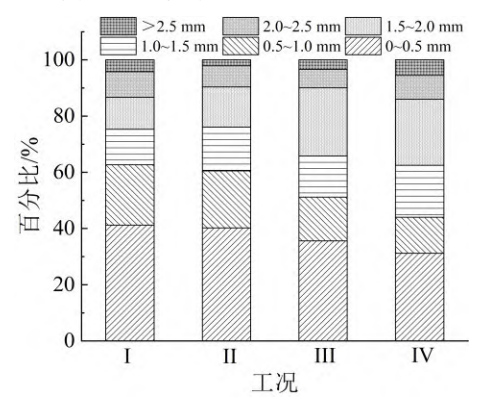


图 4 各工况内污泥粒径分布占比分析

Fig.4 The Proportion analysis of sludge particle size distribution in each working condition

污泥 EPS 的含量及组分同样受 OLR 变化的影响。如图 5 所示,进水 OLR 由 20 gCOD/(L·d)提高至 40 gCOD/(L·d)时,EPS 的含量由 101 mg/g 提高至 121 mg/g,EPS 含量增加率约为 50%。当 OLR 进一步提高至 50 gCOD/(L·d)时,EPS 含量为 123 mg/g,与工况 III 内 EPS 含量相差不明显,说明过量 OLR 对颗粒污泥的 EPS 无促进作用。陆佳等[12]研究证实高有机负荷利于 EPS 的增加,这与本研究中 OLR 由工况 I提高至工况 III 的结论相一致。

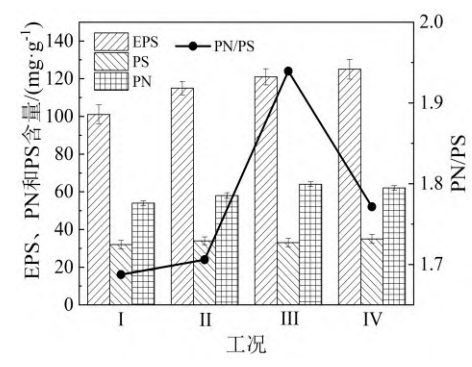


图 5 OLR 对 UASB 内污泥 EPS 含量及组分的影响 Fig.5 Effect of OLR on EPS content and composition of sludge in the UASB

OLR 同样会影响 EPS内 PN和 PS的比值。如图 5 所示,随 OLR 的升高, PN/PS 的由最初的 1.68 升高 至 1.93,然后又下降至 1.77。研究证实, PN/PS 比值 增加有助于减小细菌与水分子之间的结合,从而促进菌胶团的形成,这也是工况 III 内污泥粒径较大,且氢气产量较高的原因之一。

2.5 OLR 对 UASB 处理有机废水过程内 pH 变化的影响

高浓度有机废水厌氧过程内会产生大量VFA, 从而导致酸化现象。pH变化能很好体现系统的稳 定性。如图 6 所示,在工况 I内,进水 OLR 不大,此时产生的 VFA 能迅速被生物转化从而导致稳定时期 pH在 5.4(30 d时数据)。当进水 OLR 提高至 40、50 gCOD/(L·d)时,系统 pH进一步下降,这主要是由于 OLR 提高,系统内 VFA 的积累量增加。需要注意的是在工况 II 和工况 III 内 pH差异不显著,产生这种现象的原因可能在于工况 III 内微生物代谢旺盛,过量的 OLR 能迅速被微生物所代谢。然而在工况 IV,进水 OLR 达到最大值, pH在 5.02~5.21 波动,说明进水 OLR 含量过大导致系统存在一定酸化现象。OLR 提高为水解酸化菌代谢提供了充足的物质基础,有机质在微生物作用下提供电子并转化为氨基酸和葡萄糖,从而为酸化细菌的消耗做准备,VFA 积累量大导致 pH下降。

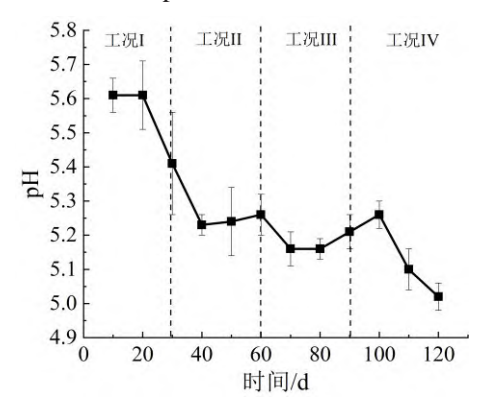


图 6 不同工况内 pH 的变化规律

Fig.6 The Variation Law of pH under different working conditions

2.6 OLR 对 UASB 厌氧处理有机废水末端液相产物的影响

表1示出了各工况下液相内主要产物的浓度。在乙醇浓度方面,随着进水OLR提高,乙醇浓度先下降后平稳。在工况I内乙醇浓度为1025.2 mg/L,而在工况II~IV内,乙醇的浓度维持在841.3~854.6 mg/L,在这3种工况下乙醇的浓度大致相似。然而,针对VFA各组分的浓度,OLR变化产生较大影响。整体而言,随OLR升高,乙酸盐、丁酸盐和戊酸盐的浓度先升高后降低,且在工况III内浓度达到最大,而丙酸盐含量随OLR升高呈现升高趋势。氢

表 1 各工况下液相末端产物种类及含量比较

Tab.1 Comparison of types and contents of liquid end products under various working conditions

工况	$ ho/(\operatorname{mg} \cdot \operatorname{L}^{\text{-}1})$				
	乙醇	乙酸盐	丙酸盐	丁酸盐	戊酸盐
工况I	1 025.2±21.2	231.2±13.5	152.2±5.4	415.6±10.2	121.3±4.2
工况II	841.3±51.5	258.9 ± 15.6	164.5±4.6	450.6±8.5	154.6±3.5
工况III	854.6±37.4	315.6±21.5	184.6±9.5	498.6±10.3	135.6±4.1
工况IV	845.6±30.6	298.5±20.6	264.8±7.5	474.9±8.7	158.6±2.8

气主要产生与酸化阶段,并在一定程度上与乙酸盐的含量密切相关。在工况III内,乙酸盐的浓度达到整个运行工况的最大值,这与该阶段内氢气产量最大的结论相一致。

3 结 论

在中温条件下调查了OLR对UASB处理高浓度厌氧产氢的影响,主要结论如下:

- 1) OLR 影响 UASB 内污泥浓度,且随 OLR 由 20 gCOD/(L·d)提高至 50 gCOD/(L·d), SS 质量浓 度由 8.4 ~ 8.6 g/L提高至 10.8 ~ 11.2 g/L。
- 2)OLR 影响 UASB 内有机物去除规律,当OLR 为 40 gCOD/(L·d), COD 的去除率高达 92.5% ~ 94.2%,远高于其他工况。过高OLR 降低了COD的去除,并导致 VFA 的过度积累。
- 3) OLR 对氢气产量具有显著影响。OLR 为 40 gCOD/(L·d) 时,氢气产量达到最大提 38.9 ~ 40.3 mL/gVSS,较工况 I提高约的 16.6 ~ 25.1 mL/gVSS。
- 4)OLR对UASB内EPS含量及组分具有显著影响。OLR提高利于颗粒污泥的形成。随OLR的升高,PN/PS的由最初的1.68升高至1.93,增强了污泥颗粒化程度。

参考文献:

- [1] 张斌阁,孙彩玉,边喜龙,等.豆制品加工废水生物制氢系统启动与运行优化[J].哈尔滨商业大学学报:自然科学版,2019,35(1):40-43
- [2] WANG Y, SERVENTI L. Sustainability of dairy and soy processing: A review on wastewater recycling[J]. Journal of

- Cleaner Production, 2019, 237:117821.
- [3] HUANG C, LUO M T, CHEN X F, et al. Recent advances and industrial viewpoint for biological treatment of wastewaters by oleaginous microorganisms[J]. Bioresource Technology, 2017, 232: 398-407.
- [4] 张磊,赵婷婷,何虎.食品加工废水处理技术研究进展[J].水处理 技术,2018,44(12):7-13.
- [5] 纪钧麟,杨红,尹芳,等.上流式厌氧污泥床反应器处理玉米酒精 废水实验[J].水处理技术,2020,46(9):42-47.
- [6] REUNGSANG A, SITTIJUNDA S, SOMPONG O. Bio-hydrogen production from glycerol by immobilized Enterobacter aerogenes ATCC 13048 on heat-treated UASB granules as affected by organic loading rate[J]. International Journal of Hydrogen Energy, 2013,38(17):6970-6979.
- [7] CASTELLÓ E, SANTOS C GY, IGLESIAS T, et al. Feasibility of biohydrogen production from cheese whey using a UASB reactor: links between microbial community and reactor performance[J]. International Journal of Hydrogen Energy,2009,34(14):5674-5682.
- [8] 郎龙麒,万俊锋,王杰,等.SBAR 内不同有机负荷下2种好氧颗粒污泥形成及除磷性能[J].环境工程学报,2015,9(1):51-57.
- [9] SÁNCHEZ E, BORJA R, TRAVIESO L, et al. Effect of organic loading rate on the stability, operational parameters and performance of a secondary upflow anaerobic sludge bed reactor treating piggery waste[J]. Bioresource Technology, 2005, 96(3): 335-344.
- [10] THANH B X, VISVANATHAN C, AIM R B. Characterization of aerobic granular sludge at various organic loading rates[J]. Process Biochemistry, 2009, 44(2):242-245.
- [11] 李俊霞,郭冀峰,李继香.有机负荷和温度对膜生物反应器膜污染的影响[J].水处理技术,2020,46(6):45-49.
- [12] 陆佳,刘永军,刘喆,等.有机负荷对污泥胞外聚合物分泌特性及颗粒形成的影响[J].化工进展,2018,37(04):1616-1622.

Effects of Organic Loading on Anaerobic Hydrogen Production and Reactor Operation Characteristics of UASB Treatment of High Concentration Food Wastewater

SUN Chen^{1,2}, CHI Ran^{1,2}, LI Weiying^{1*}

(1.Key Laboratory of Yangtze River Water Environment, Ministry of education, Tongji University, 200092;

2. Shanghai Water Source Construction and Development Co., Ltd, 200433: Shanghai, China)

Abstract: Because of the unclear effect of organic loading rate (OLR) on the anaerobic hydrogen production performance of high-concentration food wastewater, the anaerobic production period and reactor operation characteristics of UASB treating different OLR food organic wastewater were studied at 25 °C. The results showed that the increase of OLR was beneficial to the increase of granular sludge concentration, OLR increased from 20 gCOD/(L·d) to 50 gCOD/(L·d), and sludge concentration increased from 8.4 ~ 8.6 g/L to 10.8 ~ 11.2 g/L. In addition, when the OLR is 40.0 g COD/(L·d), the highest COD removal efficiency was 92.5% ~ 94.2%, and the maximum hydrogen production was 38.9 ~ 40.3 mL/g VSS, which was much higher than other working conditions. The OLR also has a significant impact on sludge characteristics. When the influent OLR increased from 20 g COD/(L·d) to 40 gCOD/(L·d), the content of extracellular polymer (EPS) increased from 101 mg/g to 121 mg/g, and the increase rate of EPS content was about 50%. The excessive OLR leads to acidification in the system, seriously reducing the pH and affecting microbial activity. The research results provided a certain theoretical basis and data support for the treatment of high-concentration organic wastewater by the UASB.

Keywords: high concentration wastewater; organic load; anaerobic hydrogen production; UASB